# -种用于静态图像车辆检测的颜色变换模型◎

洪留荣 (淮北煤炭师范学院 计算机科学与技术学院 安徽 淮北 235000)

摘 要: 充分利用车辆的颜色特征,提出了一种新的基于 Karhunen-Loeve(KL)变换的颜色变换模型。利用该模 型可将所有像素颜色由 RGB 三维颜色空间变换到一个二维颜色空间上。在这个二维颜色空间上,车 辆像素和非车辆像素分别集中在具有较好分离程度的两个区域。在此基础上,利用分类器可实现静态 图像车辆的识别。实验结果表明,该颜色变换模型具有较好的车辆分割能力,准确性较高。

关键词: 静态图像; 颜色变换; KL变换; Fisher 判别准则; 车辆检测

## **Color Transform Model for Vehicle Detection in Static Images**

LIU Huai-Yu, LI Jing, HONG Liu-Rong

(School of Computer Science & Technology, Huaibei Coal Industry Teachers' College, Huaibei 235000, China)

Abstract: To make full use of the color feature of a vehicle, a color transform model based on Karhunen-Loeve(KL) transform is proposed. Utilizing the model, all pixels can be transformed from RGB color space to a 2-D color space. On this 2-D color space, vehicle pixels and non-vehicle pixels will respectively concentrate on detachable areas. On this basis, vehicles can be detected from static images by using a classifier. Testing results demonstrate that when the model is applied the vehicle detection can be used with high accuracy.

Keywords: static image; color transform; KL transform; Fisher criterion; vehicle detection

### 1 引言

车辆识别与计数是现代智能交通系统的重要组成 部分,车辆计数的准确与否直接影响高交通管理的水 平,同时也是当前智能交通研究的一个难点。目前, 静态图像中的车辆识别和计数方法归为两种:一种是 基于建模和模板匹配的方法[1-3],一种是基于统计学习 的方法[4-6]。基于建模和模板匹配的方法利用局部特征 描述车辆,对所建模型的要求较高,抗噪声能力较弱, 算法的鲁棒性不够好。基于统计学习的方法通过对样 本进行训练获得车辆和背景之间的差异,再利用合适 的分类器对车辆进行识别。这种方法具有一定的自适 应能力,但分类器设计复杂,计算量较大。

上述两种静态图像中的车辆识别和计数方法主要 还是对灰度图进行处理,对车辆的颜色特征利用较少。 这主要是由于以下原因造成的: 车辆颜色各种各样不

尽相同,即使相同的颜色由于光照、阴影等原因在不 同的环境下获取的颜色值也会有所差别, 因此比较容 易获取的 RGB 颜色信息难以被直接利用到车辆识别 中。基于这一情况,本文提出了一种新的颜色变换模 型。通过该模型可充分利用颜色特征实现车辆的识别 与提取。

#### 2 基干K-L变换的颜色变换

Ohta 等人[7]在研究各颜色空间的区域分割能力时提 出了基于 KL 变换的颜色变换方法, 他们首先针对 N 个训练样本图像通过统计分析得到 R, G, B 分量分布 的协方差矩阵 $\Sigma$ ,再使用 KL 变换获得 $\Sigma$ 的特征向量 和特征值,分别记为 ei 和  $\lambda$  i, 其中 i 的取值为 1、2、 3,且 $\lambda 1 > \lambda 2 > \lambda 3$ 。利用特征向量定义了三个新的 颜色特征 **Ci**,如公式**(1)**所示:

Experiences Exchange 经验交流 191

① 基金项目:安徽省教育厅自然科学基金 (KJ2008B123);安徽省教育厅自然科学基金(KJ2009B011) 收稿时间:2009-12-22;收到修改稿时间:2010-01-12

$$C_{i} = e_{ri}R + e_{gi}G + e_{bi}B \tag{1}$$
 
$$\sharp + e_{i} = (e_{ri}, e_{gi}, e_{bi}) , \quad i = 1,2,3 \, \circ$$

通过公式(1)可将像素颜色从 RGB 颜色空间映射 到三个特征向量 ei 对应的颜色空间上。

Healey<sup>[8]</sup>用类似的思想进行图像分割,并指出通过公式(1)均匀介质表面(如道路和云)的颜色将沿着由最大特征值 λ 1 对应的特征向量 e1 定义的 C1 坐标轴的方向移动。也就是说,如果将所有的道路颜色映射到一个垂直于 C1 的平面,那么所有的道路颜色将集中在一个较小的区域中。

Tsai 等人<sup>191</sup>将基于 KL 变换的颜色变换应用于车辆检测,针对包括车辆图和非车辆图的所有训练样本

求得
$$C_1 = \frac{1}{3}R + \frac{1}{3}G + \frac{1}{3}B$$
 ,并通过公式**(2)**将 RGB

颜色空间映射到与 C1 垂直的颜色平面(u,v)上,在颜色平面(u,v)上利用统计的方法并结合车辆局部特征进行车辆的识别。

$$u_p = \frac{2Z_p - G_p - B_p}{Z_p}$$
  $v_p = Max(\frac{Z_p - G_p}{Z_p}, \frac{Z_p - B_p}{Z_p})$  (2)

其中, $(R_p,G_p,B_p)$ 是像素点 p 的各颜色分量, $Z_p=(R_p+G_p+B_p)/3$ 用于规格化。

在上述的研究基础上,为了能更有效地从静态图像中识别车辆,本文分别针对车辆样本和非车辆样本,利用基于 KL 变换的颜色变换方法,将 RGB 三维颜色空间转换为二维颜色空间(s,t)和(w,r),并通过实验对其车辆像素的分割能力进行分析和比较。





(a) 车辆样本

(b) 非车辆样本

图 1 部分训练样本图

首先从不同的场景收集大量包括车辆样本和非车辆样本的训练图像,图 1 为部分训练样本。分别选取样本数为 60, 120, 180 的车辆样本和非车辆样本,通过 KL 变换计算出各样本空间对应的特征值和特征

向量, 其特征向量结果如表 1 所示。

表 1 各样本空间对应的特征向量

样本	样本	,	( )	(e <sub>R3</sub> ,e <sub>G3</sub> ,e <sub>B3</sub> )	
空间	个数	( e <sub>R1</sub> , e <sub>G1</sub> , e <sub>B1</sub> )	(e <sub>R2</sub> ,e <sub>G2</sub> ,e <sub>B2</sub> )		
车辆	60	(0.34,0.33,0.33)	(0.50,-0.10,-0.40)(-	-0.17,0.50,-0.33)	
样本 <b>1</b>					
车辆	120	(0.34,0.33,0.33) (	(0.50,-0.14,-0.36)(-	).13,0.50,-0.37)	
样本 2					
车辆	180	(0.33,0.33,0.33) (0	(0.50 -0.14 -0.36)(-	-0 13 0 50 -0 37)	
样本 3			(0.30,-0.14,-0.30)(-	. 13,0.33,-0.37)	
非车辆	60	(0.34,0.32,0.35)	(0.50.0.01 .0.40) (	0.4 0.50.0.00	
样本 1			(0.50,0.01,-0.49) (0	.24,-0.53,0.23)	
非车辆	120	(0.34,0.31,0.35)			
样本 2			(0.51,0.00,-0.49) (	0.24,-0.52,0.24)	
非车辆	180	(0.34,0.32,0.35)			
样本 3			(0.48,0.03,-0.49) (	0.26,-0.52,0.22)	
		1	1 1 1 1 1		

注:表 1 中的数据是利用  $\left|w_R\right| + \left|w_G\right| + \left|w_B\right| = 1$  规格化后的数据。

通过表 1 可知,只针对车辆样本进行 KL 变换时求得的特征向量近似为 e1=(1/3,1/3,1/3)、e2=(1/2,-1/7,-5/14)、e3=(-1/8,1/2,-3/8),则由 e2 和 e3 可构成与最大特征值对应的特征向量 e1 垂直的二维颜色空间(s, t),其形式如公式(s)所示。

$$s_p = \frac{\frac{1}{2}R_p - \frac{1}{7}G_p - \frac{5}{14}B_p}{Z_p} \quad t_p = \frac{-\frac{1}{8}R_p + \frac{1}{2}G_p - \frac{3}{8}B_p}{Z_p}$$
 (3)

其中,( $R_p$ , $G_p$ , $B_p$ ) 是像素点 p 归一化的各颜色分量, $Z_p$ =( $R_p$ + $G_p$ + $B_p$ )/3 用于规一化。

如果只针对非车辆样本进行 KL 变换时求得的特征 向 量 近 似 为 e1=(1/3,1/3,1/3)、e2=(1/2,0,-1/2)、e3=(-1/4,1/2,-1/4)。对应二维颜色空间(w, r)的形式如公式(4)所示。

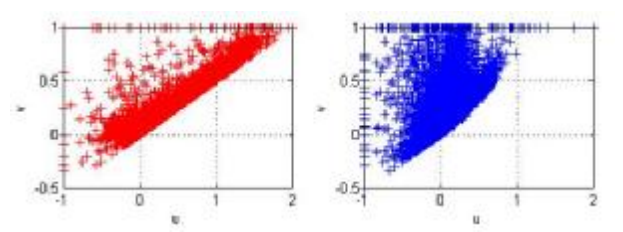
$$w_p = \frac{\frac{1}{2}R_p - \frac{1}{2}B_p}{Z_p} \quad r_p = \frac{-\frac{1}{4}R_p + \frac{1}{2}G_p - \frac{1}{4}B_p}{Z_p}$$
 (4)

在下一节中,将通过实验分别对公式(2)~(4) 对应的二维颜色空间(u, v),(s, t),(w, r) 的车辆分割能力进行分析和比较。

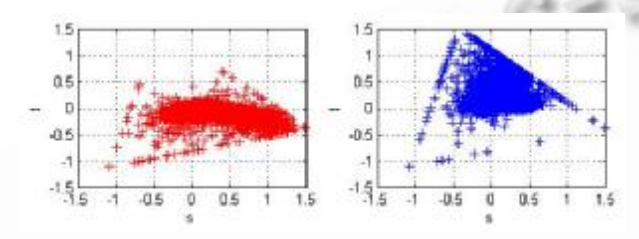
192 经验交流 Experiences Exchange

### 3 实验及分析

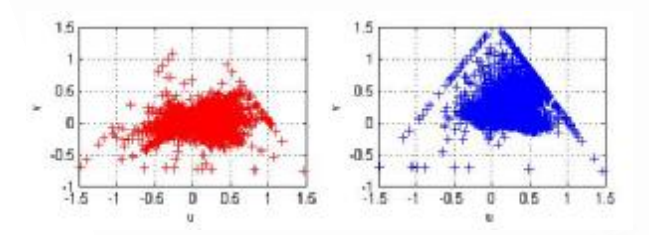
利用公式(2),(3),(4)分别在平面(u,v),(s,t),(w,r)上绘出所有训练样本图的像素点颜色变换结果,如图 2~图 4 所示。通过颜色变换结果图可以直观的看出公式(3)比公式(2)和公式(4)具有更好的车辆分割能力。



(a)车辆样本颜色变换结果件 (b)非车辆样本颜色变换结果 图 2 利用公式(2)进行颜色变换结果图



(a)车辆样本颜色变换结果 (b)非车辆样本颜色变换结果 图 3 利用公式(3)进行颜色变换结果图



(a)车辆样本颜色变换结果 (b)非车辆样本颜色变换结果 图 4 利用公式(4)进行颜色变换结果图

除了通过颜色变换结果图进行直观的观察外,还可利用 Fisher 判别准则对公式(2)~(4)的车辆分割能力进行评价。该准则使用类间距离和总类内散布的比率来测定变换 T 将空间分割为 Q1 和 Q2 两类的能力[10]。其定义如下:

$$J(T) = \frac{\left| m_1 - m_2 \right|^2}{s_1^2 + s_2^2}$$

其中,m1 和 m2 为各类的均值,s1 和 s2 为各类的方差。J(T)的值越大,对应 T 的分割能力越强。 表 2 列出公式(2)~(4)对应的 J 值。很显然,式(3)对应

的颜色空间(s, t)有着比式(2)和式(4)对应的颜色空间 更好的车辆分割能力。

表 2 不同颜色变换的分割能力分析

颜色	车辆均值	非车辆均值 车辆		非车辆	类间		
变换	( x1, y1 )	( x2, y2 )	方差	方差	距离		
式 (4)	(0.05, 0.00)	( 0.03, 0.06 )	0.06	0.05	0.0691	0. 7876	
式(5)	(0.08, 0.09)	( 0.03, 0.10 )	0.07	0.04	0.0561	0. 4575	
式 (6)	(0.07,-0.04)	(0.08, -0.09)	0.04	0.05	0.0499	0. 5961	

为了进一步验证公式(2)~(4)的车辆分割能力,本 文利用贝叶斯分类器分别对不同场景的静态图像利用 不同颜色变换进行车辆的识别与提取,其结果如图 5~6 所示。



(a) 原始图

(b) 利用公式(2)

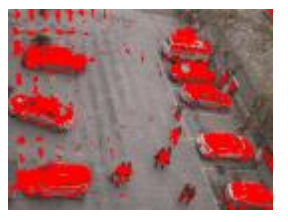


(c) 利用公式(3)

(d) 利用公式(4)

图 5 道路场景下利用不同颜色变换进行的车辆检测





(a) 原始图

(b) 利用公式(2)



(c) 利用公式(3)

(d) 利用公式(4)

图 6 停车场场景下利用不同颜色变换进行的车辆检测

#### 4 结论

本文充分利用车辆颜色信息,结合 KL 变换提出 了一种新的颜色变换模型,通过该模型将图像中的所 有像素颜色由 RGB 三维颜色空间变换到一个二维颜 色空间(s,t),在该空间上车辆像素和非车辆像素被 分别映射到两个可区分的区域。通过实验对比分析, 该颜色变换模型比其他颜色变换模型有着更好的静态 图像车辆识别能力,以此为基础可更好的实现后续车 辆提取与计数。

#### 参考文献

- 1 Kyo S, Koga T, Sakurai K, et al. A robust vehicle detecting and tracking system for wet weather conditions using the I MAP-VISION image processing board. IEEE/IEEJ/ JSA I International Conference on Intelligent Transportation Systems. 1999.
- 2 Wen Z, Zhao H, Wang N, Yuan H. A Rear-Vehicle Detection System for Static Images Based on monocular Vision. 9th International Conference on Control, Automation, Robotics and Vision, 2006, ICARCV '06
- 3 Gao L, Li C, Fang T, Xiong Z. Vehicle Detection Based on Color and Edge Information. 5th Interna-tional Conference on Image Analysis and Recogni-

- tion, ICIAR 2008.
- 4 Constantine P, Papageorgiou C, Poggio T. A Trainable Object Detection System: Car Detection in Static Images. A. I. Memo 1673, MIT Artificial Intelligence Laboratory, 1999.
- 5 Wu JW, Zhang XG. Wavelet transform and PCA to detect cars in static images. Journal of Tsinghua University, 2002,42(11):1560 - 1564.
- 6 Wang CCR, Lien JJJ. Automatic Vehicle Detection Using Local Features—A Statistical Approach. Intelligent Transportation Systems, IEEE Transactions, March 2008,9(1):83 - 96.
- Ohta Y, Kanade T, Sakai T. Color information for region segmentation. Computer Graphics and Image Processing, 1980,13:222 – 241.
- 8 Healey G. Segmenting images using normalized color. IEEE Transactions on Systems, Man, and Cybernetics, 1992,22(1):64-73.
- 9 Tsai LW, Hsieh JW, Fan KC. Vehicle Detection Using Normalized Color and Edge Map. IEEE Transactions on Image Processing, 2007,16(3).
- 10 Duda RO, Hart PE, Stork DG. 模式分类.李宏东等 译.北京:机械工业出版社, 2006.96-97.